

SPM

May 27, 2022

0.0.1 Aspectos Generales de Simulación Numérica

Al igual que el problema de dispersión, definimos la función `fwhm` que calcula el ancho de un pulso con definición full width at half maximum. La función `power` que calcula la potencia de un pulso, y `normalize`, que la usa para forzar el teorema de Parseval sobre un par transformado por FFT.

`fwhm (generic function with 1 method)`

`normalize (generic function with 1 method)`

Ya que vamos a trabajar con más de un tipo de fibra, definimos un tipo de dato que represente los specs relevantes de una fibra óptica.

`SMF: Fibra(1.2 km-1 W-1, 1.0046157902783952 km-1)`

`NZ_DSF = Fibra(1.8 km-1 W-1, 1.0519618738232228 km-1)`

Elegimos el número de puntos en el que vamos a discretizar el dominio, y elegimos propagar un pulso de ancho de 10 ps. Definimos el vector z de 0 a 80 km

`(0.0:0.15655577299412915:80.0) km`

Elegimos la fibra SMF y un pulso con potencia de 1 mW. En función de esto calculamos la longitud característica de no-linealidad L_{NL} y la de atenuación L_{eff}

$$L_{NL} = \frac{1}{\gamma P_0} \quad L_{eff} = \frac{1}{\alpha}$$

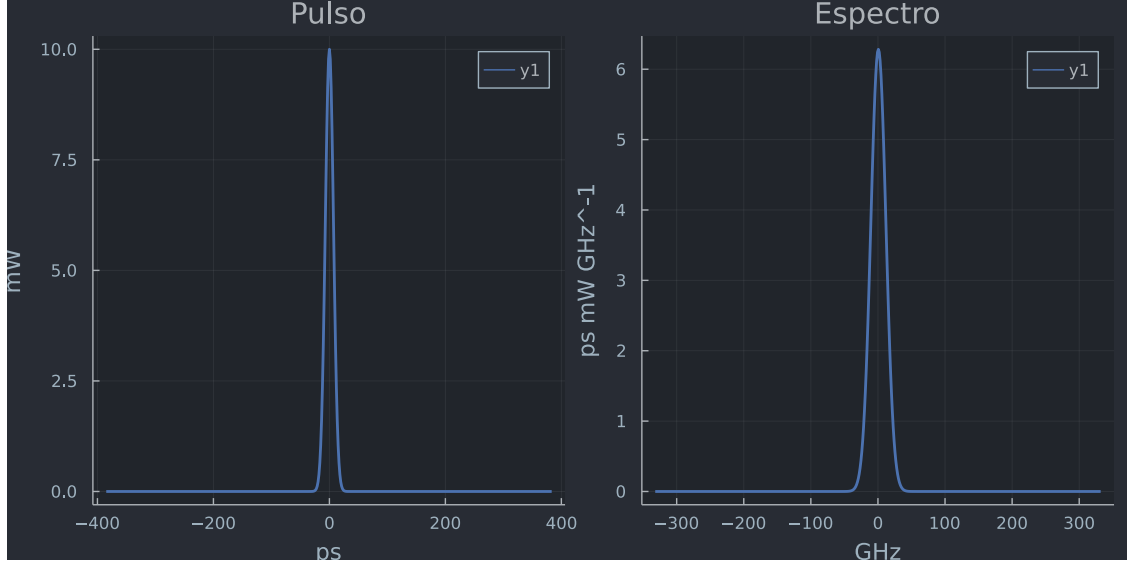
`Longitud característica de atenuación = 0.9954054173515269 km`

`Longitud característica de no-lineal. = 83.33333333333333 km`

Definimos un vector de frecuencias en función del ancho final del espectro en el caso con más SPM (máximo γ , máximo P_0)

$$B_f = \sqrt{1 + \frac{4}{3\sqrt{3}}\phi_{max}} B_0 \quad \phi_{max} = \gamma P_0 L$$

Definimos el vector de tiempo en función de la resolución del vector de frecuencias. Sobre ese vector de tiempo definimos el pulso gaussiano de potencia P_0



Nuevamente definimos una grilla de coordenadas discretas (i, j) en donde vamos a evaluar el problema. Esta grilla se va a usar tanto para indexar coordenadas (z, t) como (z, f) .

512×512 Matrix{Tuple{Int64, Int64}}:

(1, 1)	(1, 2)	(1, 3)	...	(1, 510)	(1, 511)	(1, 512)
(2, 1)	(2, 2)	(2, 3)		(2, 510)	(2, 511)	(2, 512)
(3, 1)	(3, 2)	(3, 3)		(3, 510)	(3, 511)	(3, 512)
(4, 1)	(4, 2)	(4, 3)		(4, 510)	(4, 511)	(4, 512)
(510, 1)	(510, 2)	(510, 3)		(510, 510)	(510, 511)	(510, 512)
(511, 1)	(511, 2)	(511, 3)	...	(511, 510)	(511, 511)	(511, 512)
(512, 1)	(512, 2)	(512, 3)		(512, 510)	(512, 511)	(512, 512)

0.0.2 Automodulación de Fase sin Atenuación

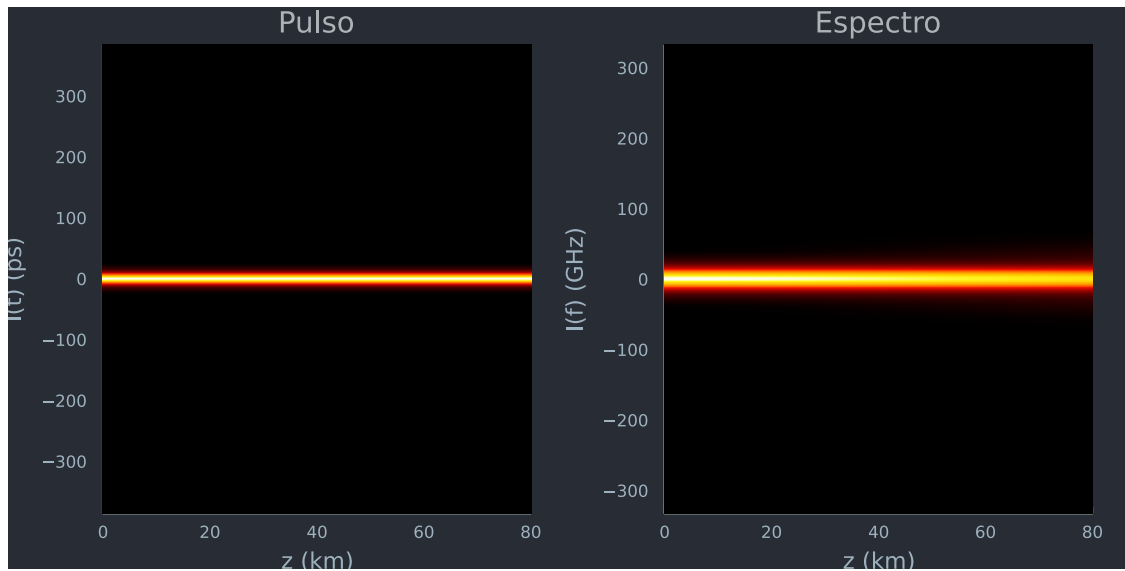
Para para calcular la evolución del espectro a lo largo de la fibra, usamos el resultado

$$A(z, t) = A(0, t) \exp [i\gamma |A(z, 0)|^2 z] \longrightarrow A_t[i, j] = A_{t0}[j] \exp [i\gamma |A_{t0}[j]|^2 z_i]$$

A (generic function with 1 method)

Evaluamos $A_t[i, j]$ en los puntos $(i, j) \leftrightarrow (z, t)$. Transformamos Fourier a lo largo de la dimensión j para obtener el resultado $A_f[i, j]$ en el dominio $(i, j) \leftrightarrow (z, f)$

Visualizamos la evolución de la forma del pulso y del espectro en forma *heatmap*



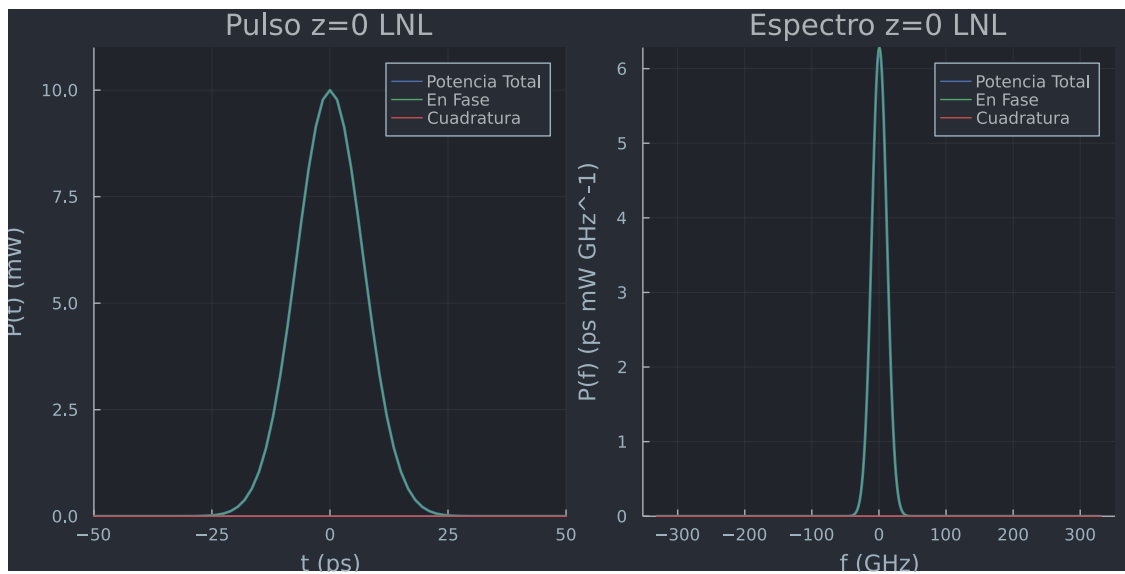
Y también con una animación que muestra la forma del pulso mientras este se propaga a través de la fibra, y tomas instantáneas de esa animación

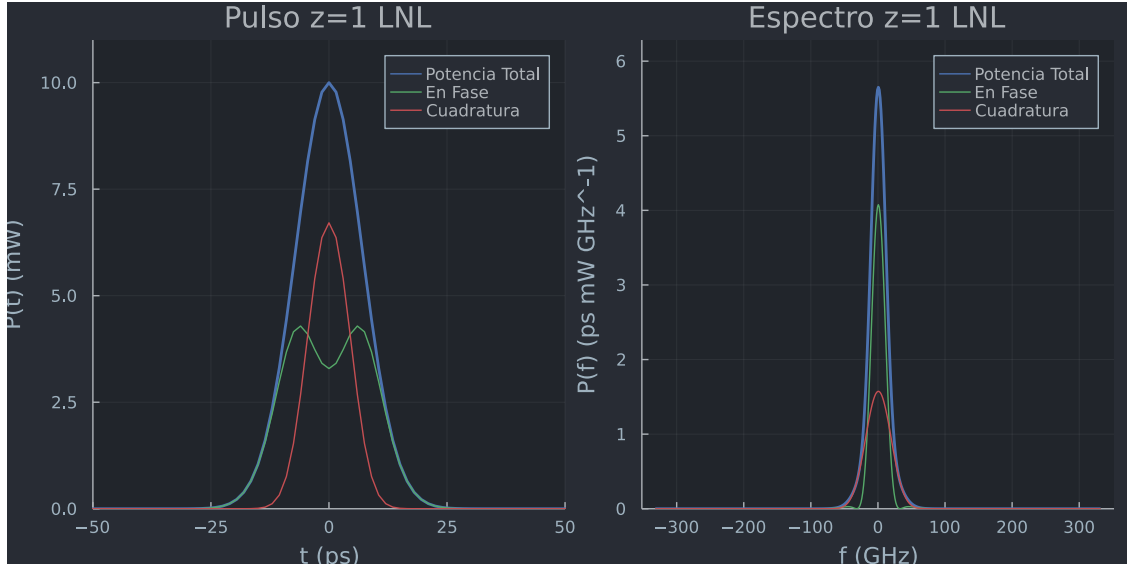
Info: Saved animation to

fn = /tmp/jl_gkvx6Y.gif

@ Plots /home/inox/.julia/packages/Plots/1KWPG/src/animation.jl:114

Plots.AnimatedGif("/tmp/jl_gkvx6Y.gif")





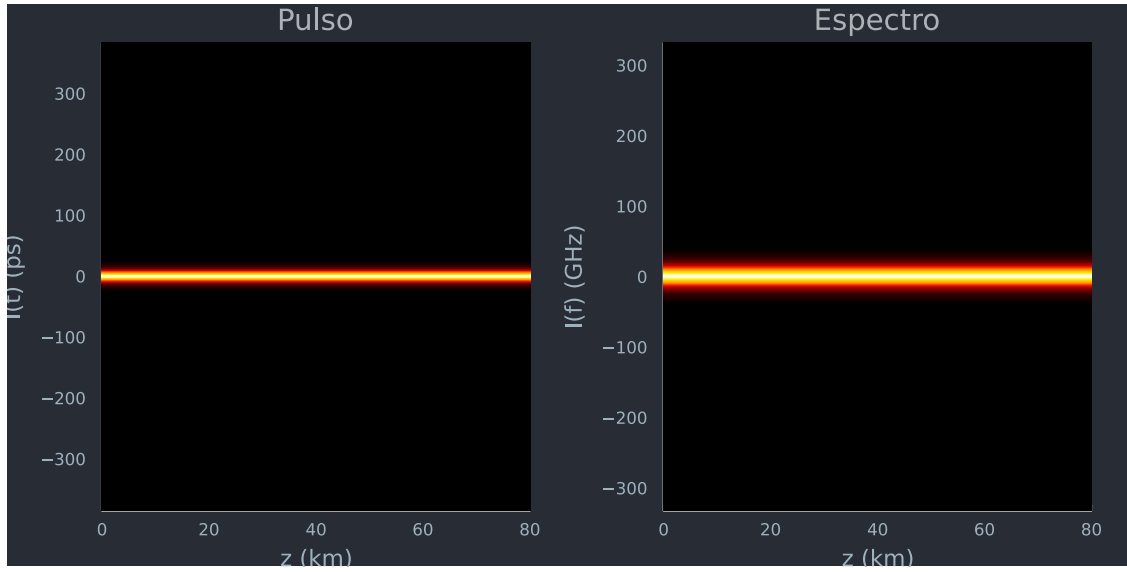
0.0.3 Automodulación de Fase con Atenuación

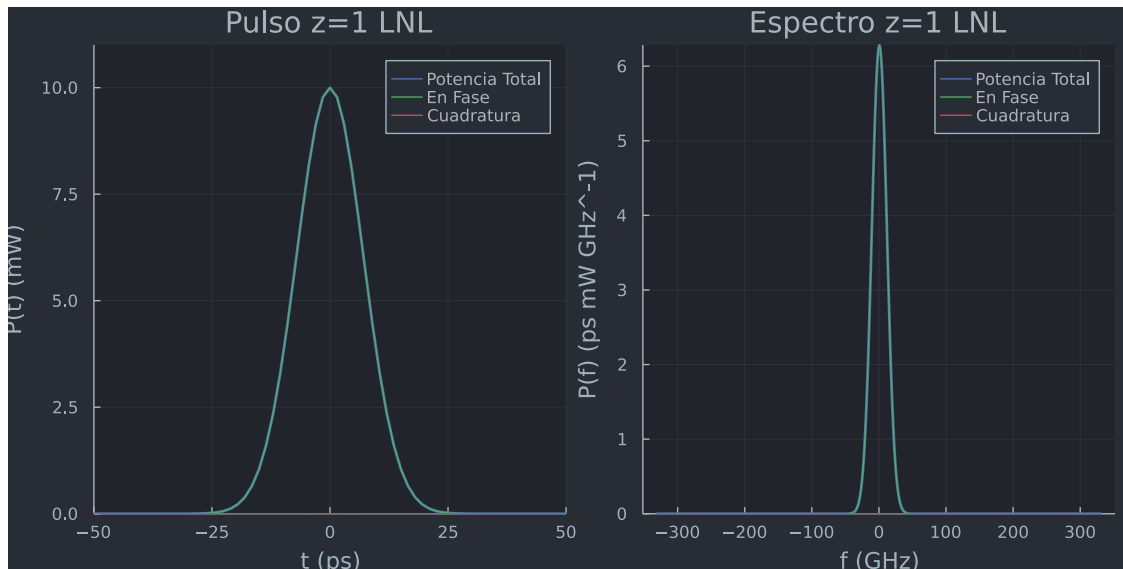
Ahora consideramos el efecto de la atenuación, usamos el resultado

$$A(z, t) = A(0, t) \exp [i\gamma |A(z, 0)|^2 z_{eff}] \longrightarrow A_t[i, j] = A_{t0}[j] \exp [i\gamma |A_{t0}[j]|^2 z_{eff}[i]]$$

Donde la longitud efectiva es: $z_{eff} = \frac{1 - e^{-\alpha z}}{\alpha}$

A_att (generic function with 1 method)





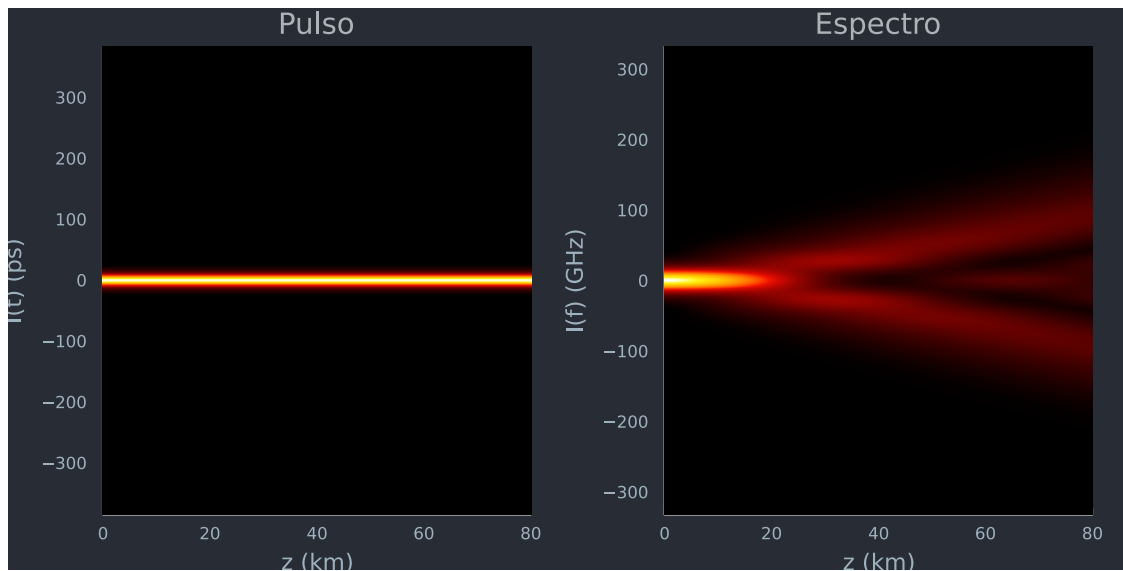
0.0.4 Efecto de incrementar potencia del pulso

Repetimos el análisis incrementando la potencia del pulso a 100 mW

Longitud característica de atenuación = 0.9954054173515269 km

Longitud característica de no-lineal. = 8.333333333333334 km

Primero sin atenuación:

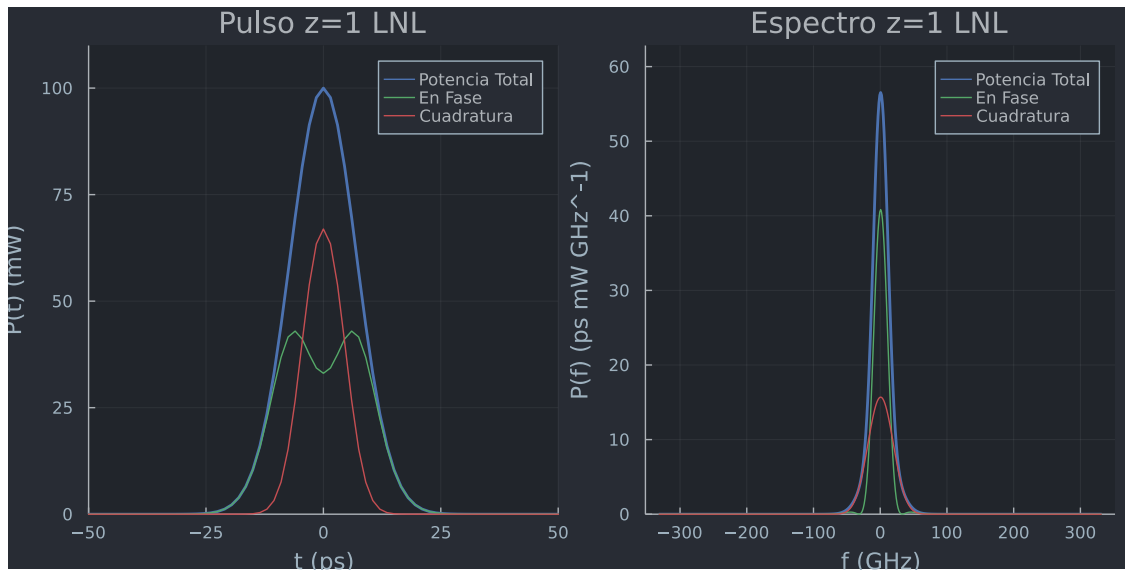
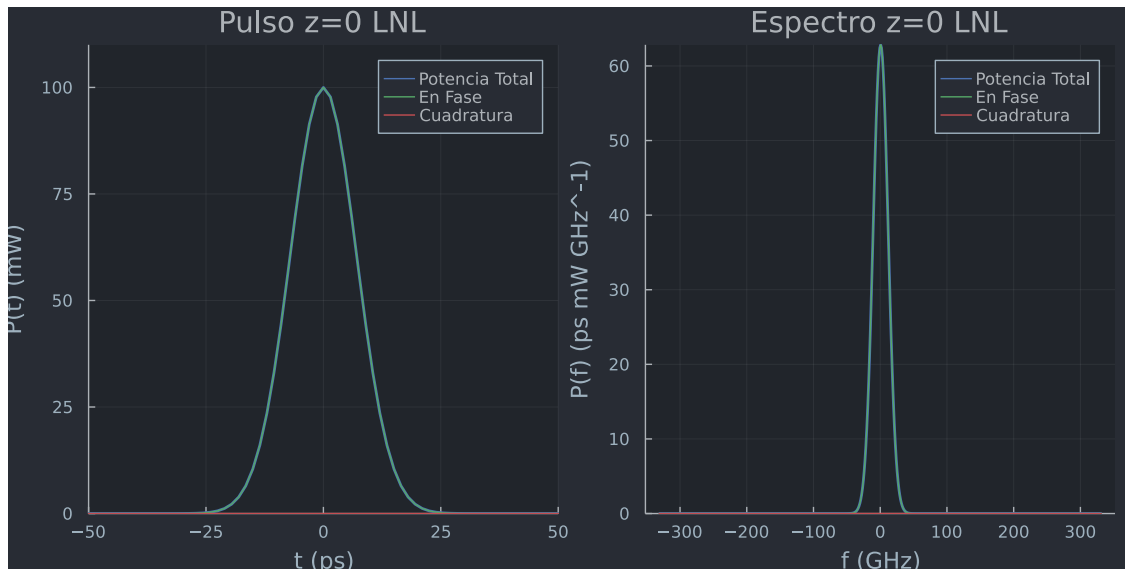


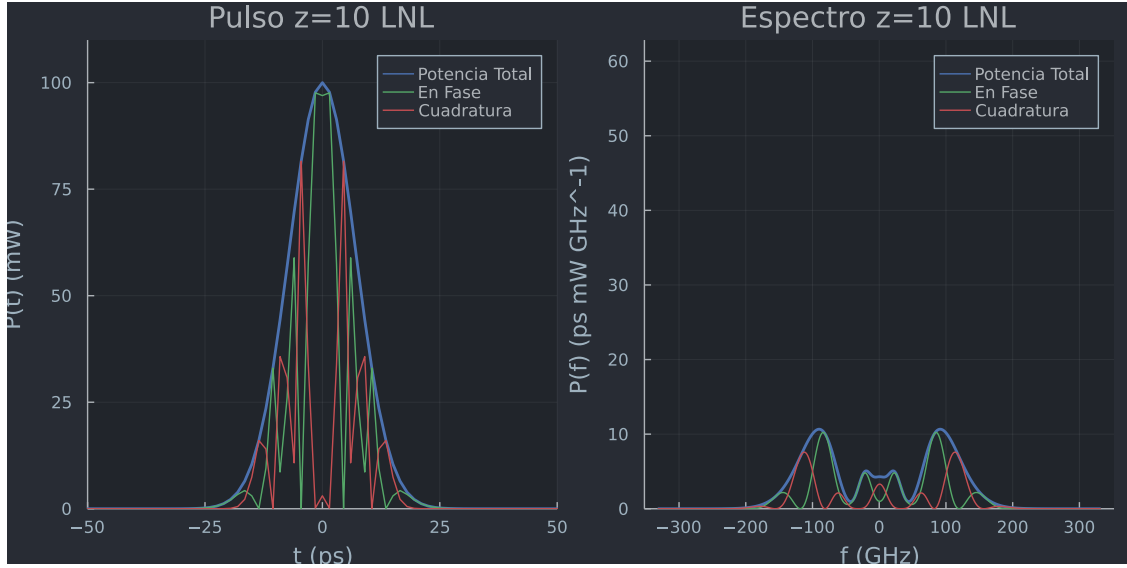
Info: Saved animation to

fn = /tmp/jl_VDN1dd.gif

@ Plots /home/inox/.julia/packages/Plots/1KWPG/src/animation.jl:114

```
Plots.AnimatedGif("/tmp/jl_VDN1dd.gif")
```

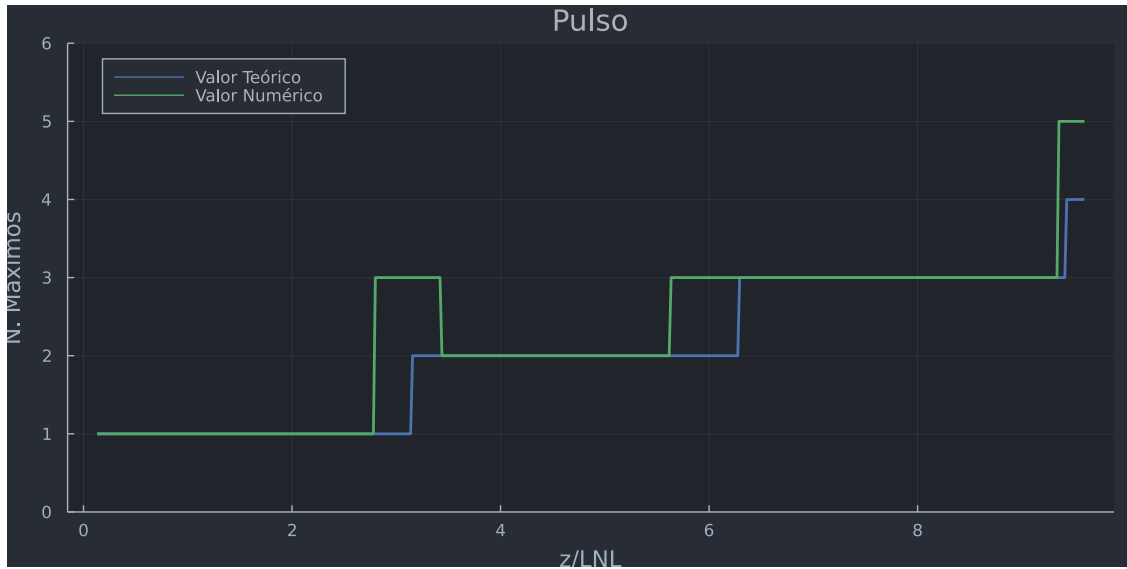




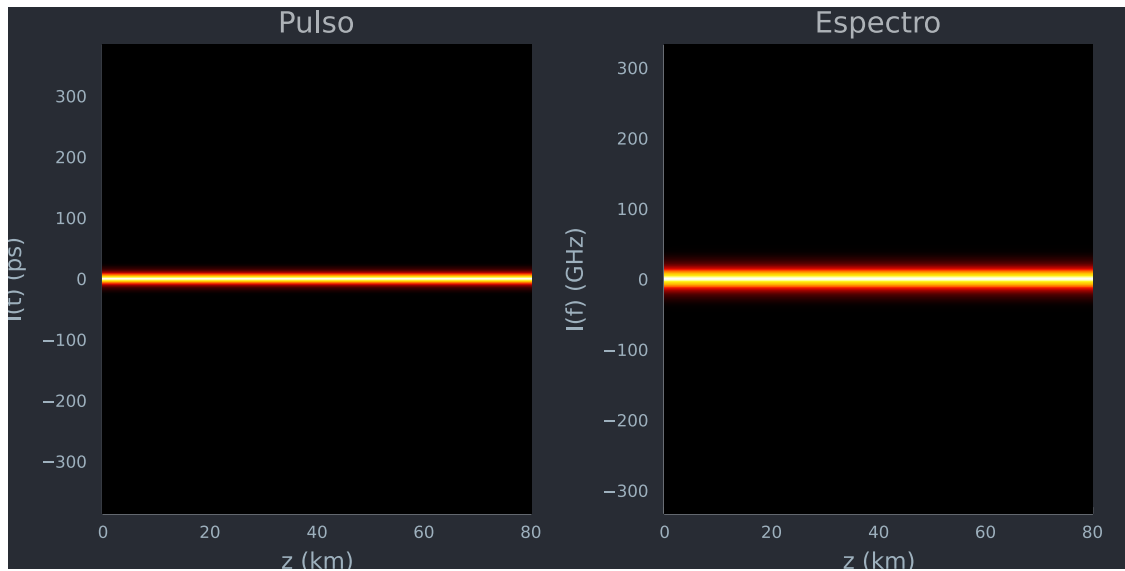
Ya que en este ejemplo se puede apreciar visualmente el ensanchamiento del espectro, podemos medir el número de máximos y comparar el valor medido con la aproximación teórica

$$M \simeq \frac{\phi_{max}}{\pi} + \frac{1}{2} \quad \phi_{max} = \gamma P_0 z_{eff}$$

El número de máximos de la simulación numérica se calcula importando la librería **Peaks** provista por el lenguaje, notar que el resultado analítico es solo una aproximación, no se espera una correspondencia exacta con la simulación numérica



Luego con atenuación:

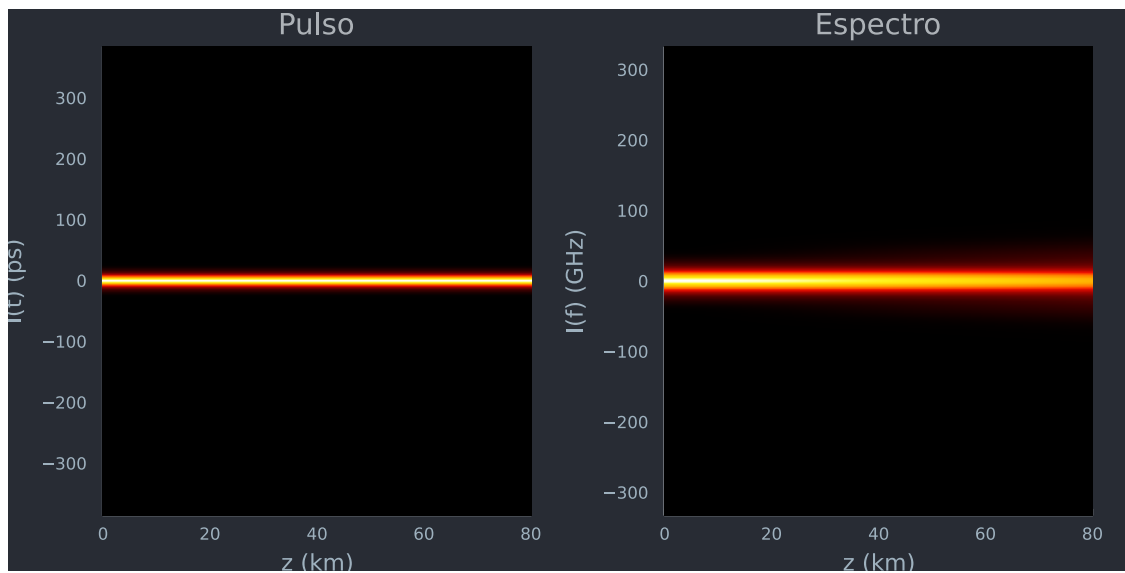


0.0.5 Fibra TW-RS

Ahora simulamos la propagación del pulso con la fibra TW-RS, primero con un pulso de 10 mW, sin atenuación

Longitud característica de atenuación = 0.9506047936562816 km

Longitud característica de no-lineal. = 55.55555555555555 km



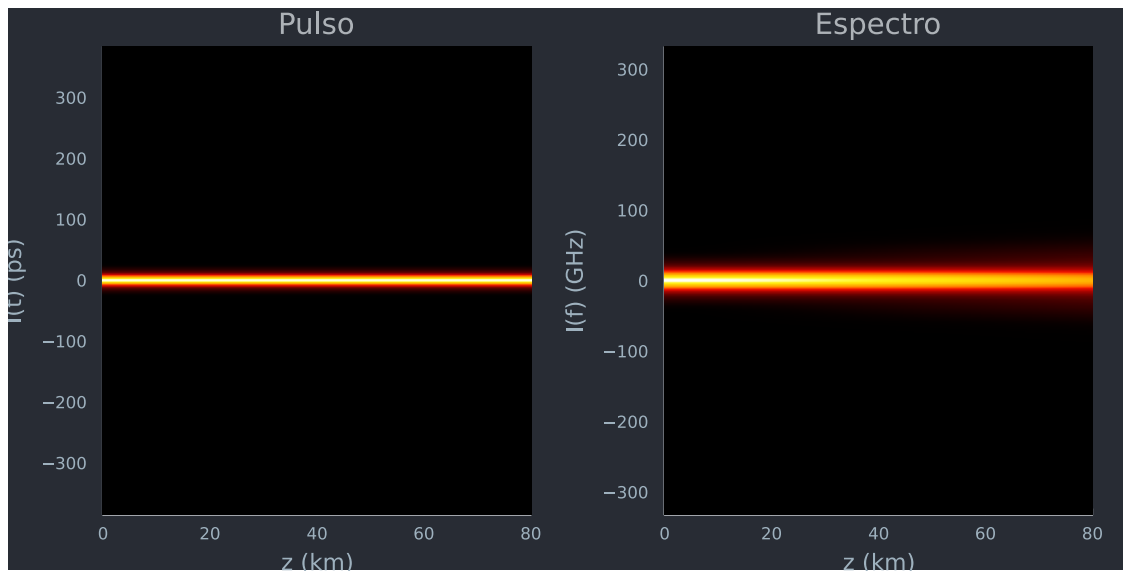
Info: Saved animation to

fn = /tmp/jl_VvoeRm.gif

@ Plots /home/inox/.julia/packages/Plots/1KWPG/src/animation.jl:114


```
Plots.AnimatedGif("/tmp/jl_VvoeRm.gif")
```

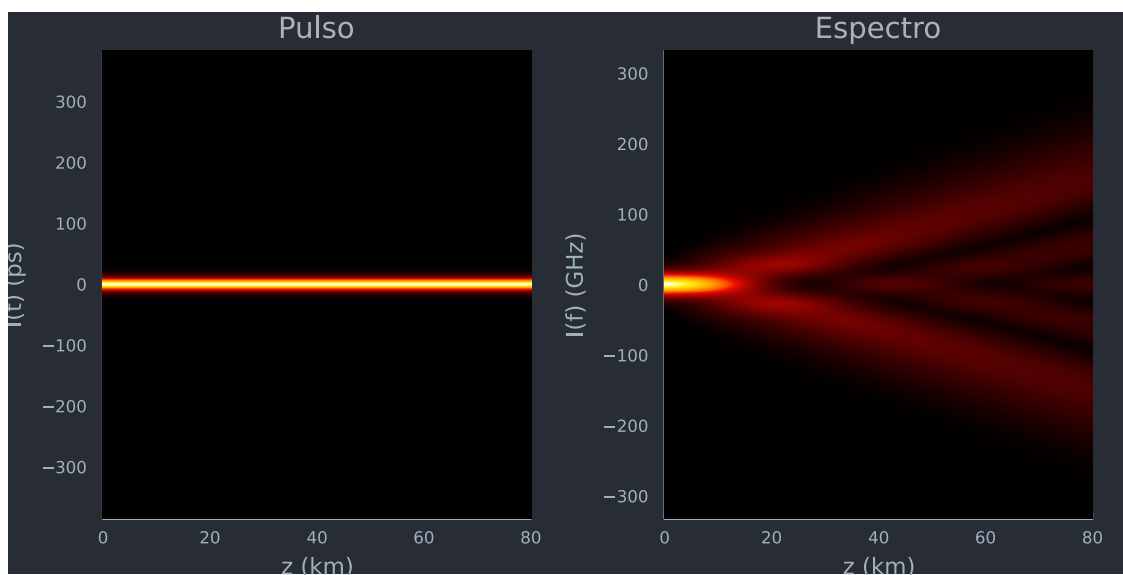
Y con atenuación



Finalmente la fibra TW-RS con un pulso de 100 mW, sin atenuación

Longitud característica de atenuación = 0.9506047936562816 km

Longitud característica de no-lineal. = 5.555555555555555 km

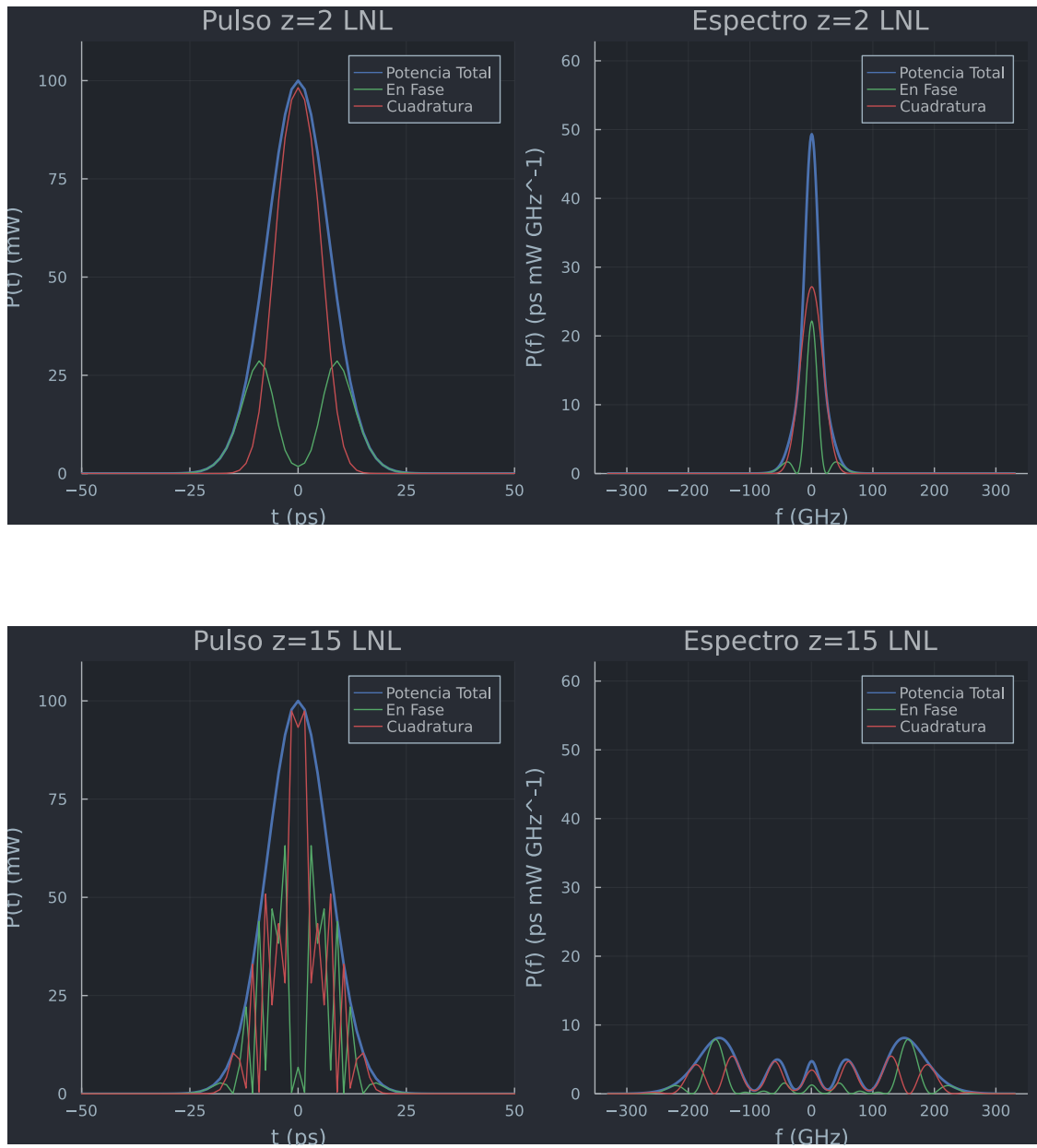


Info: Saved animation to

fn = /tmp/jl_0y3evu.gif

@ Plots /home/inox/.julia/packages/Plots/1KWPG/src/animation.jl:114

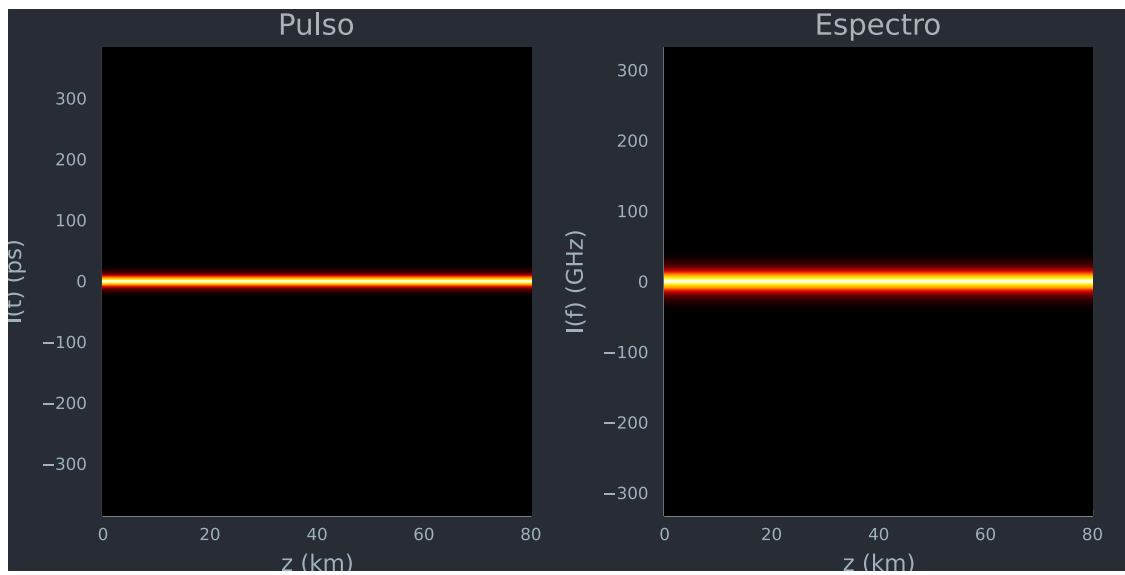
```
Plots.AnimatedGif("/tmp/jl_0y3evu.gif")
```



Vemos nuevamente el incremento de máximos en el espectro



Y con atenuación



En todos los casos se ve que la atenuación efectivamente mata a la SPM muy rápidamente, para estos valores de α y γ